

机密★启用前

# 河南省 2025 年普通高中学业水平选择性考试

## 物理

座位号

考场号

考生号

姓名

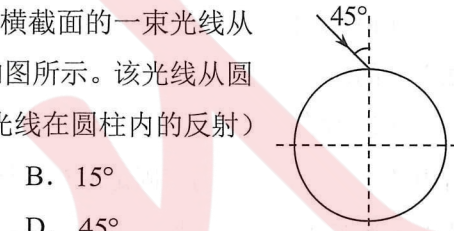
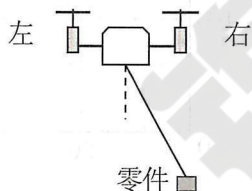
(市、区) 县

## 注意事项:

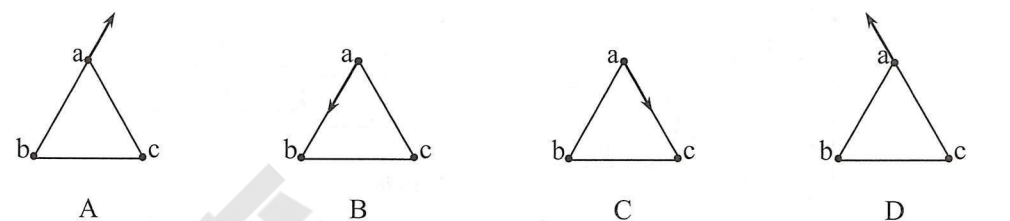
1. 答卷前, 考生务必将自己的姓名、考生号等填写在试卷、答题卡上。
2. 回答选择题时, 选出每小题答案后, 用 2B 铅笔把答题卡上对应题目的答案标号涂黑。如需改动, 用橡皮擦干净后, 再选涂其他答案标号。回答非选择题时, 将答案写在答题卡上。写在本试卷上无效。
3. 考试结束后, 将本试卷和答题卡一并交回。

**一、单项选择题:** 本题共 7 小题, 每小题 4 分, 共 28 分。在每小题给出的四个选项中, 只有一项是符合题目要求的。

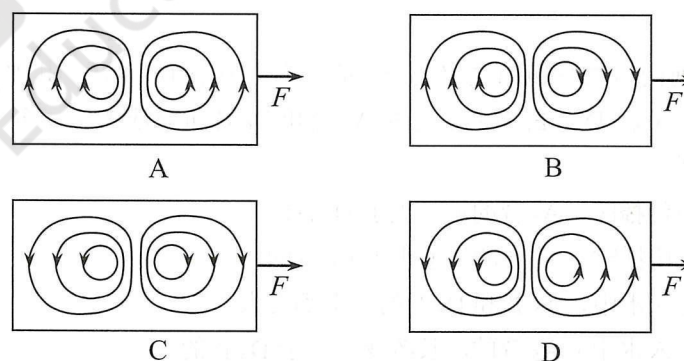
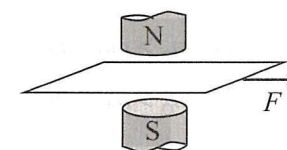
1. 野外高空作业时, 使用无人机给工人运送零件。如图, 某次运送过程中的一段时间内, 无人机向左水平飞行, 零件用轻绳悬挂于无人机下方, 并相对于无人机静止, 轻绳与竖直方向成一定角度。忽略零件所受空气阻力, 则在该段时间内
  - A. 无人机做匀速运动
  - B. 零件所受合外力为零
  - C. 零件的惯性逐渐变大
  - D. 零件的重力势能保持不变
2. 折射率为  $\sqrt{2}$  的玻璃圆柱水平放置, 平行于其横截面的一束光线从顶点入射, 光线与竖直方向的夹角为  $45^\circ$ , 如图所示。该光线从圆柱内射出时, 与竖直方向的夹角为(不考虑光线在圆柱内的反射)
  - A.  $0^\circ$
  - B.  $15^\circ$
  - C.  $30^\circ$
  - D.  $45^\circ$
3. 2024 年天文学家报道了他们新发现的一颗类地行星 Gliese12b, 它绕其母恒星的运动可视为匀速圆周运动。已知 Gliese12b 轨道半径约为日地距离的  $\frac{1}{14}$ , 其母恒星质量约为太阳质量的  $\frac{2}{7}$ , 则 Gliese12b 绕其母恒星的运动周期约为
  - A. 13 天
  - B. 27 天
  - C. 64 天
  - D. 128 天



4. 如图, 在与纸面平行的匀强电场中有 a、b、c 三点, 其电势分别为  $6\text{V}$ 、 $4\text{V}$ 、 $2\text{V}$ ; a、b、c 分别位于纸面内一等边三角形的顶点上。下列图中箭头表示 a 点电场的方向, 则正确的是



5. 如图, 一金属薄片在力  $F$  作用下自左向右从两磁极之间通过。当金属薄片中心运动到 N 极的正下方时, 沿 N 极到 S 极的方向看, 下列图中能够正确描述金属薄片内涡电流绕行方向的是



6. 由于宇宙射线的作用, 在地球大气层产生有铍的两种放射性同位素  ${}^7_4\text{Be}$  和  ${}^{10}_4\text{Be}$ 。测定不同高度大气中单位体积内二者的原子个数比, 可以研究大气环境的变化。已知  ${}^7_4\text{Be}$  和  ${}^{10}_4\text{Be}$  的半衰期分别约为 53 天和 139 万年。在大气层某高度采集的样品中, 研究人员发现  ${}^7_4\text{Be}$  和  ${}^{10}_4\text{Be}$  的总原子个数经过 106 天后变为原来的  $\frac{3}{4}$ , 则采集时该高度的大气中  ${}^7_4\text{Be}$  和  ${}^{10}_4\text{Be}$  的原子个数比约为
  - A. 1:4
  - B. 1:2
  - C. 3:4
  - D. 1:1

7. 两小车 P、Q 的质量分别为  $m_p$  和  $m_q$ ，将它们分别与小车 N 沿直线做碰撞实验，碰撞前后的速度  $v$  随时间  $t$  的变化分别如图 1 和图 2 所示。小车 N 的质量为  $m_N$ ，碰撞时间极短，则

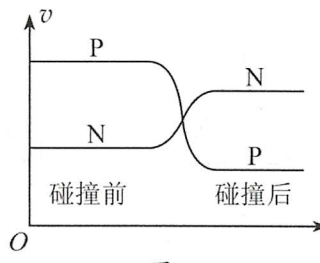


图 1

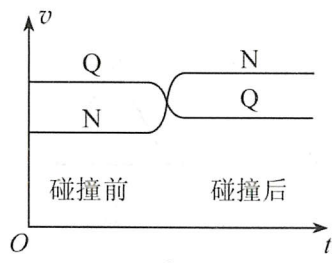


图 2

- A.  $m_p > m_N > m_q$   
 B.  $m_N > m_p > m_q$   
 C.  $m_q > m_p > m_N$   
 D.  $m_q > m_N > m_p$

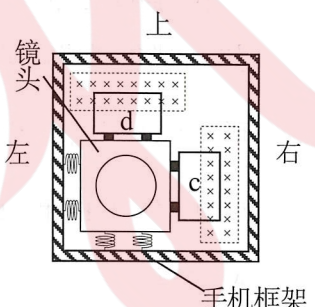
二、多项选择题：本题共 3 小题，每小题 6 分，共 18 分。在每小题给出的四个选项中，有多项符合题目要求。全部选对的得 6 分，选对但不全的得 3 分，有选错的得 0 分。

8. 贾湖骨笛是河南博物院镇馆之宝之一，被誉为“中华第一笛”。其中一支骨笛可以发出 A<sub>5</sub>、B<sub>5</sub>、C<sub>6</sub>、D<sub>6</sub>、E<sub>6</sub> 等音。已知 A<sub>5</sub> 音和 D<sub>6</sub> 音所对应的频率分别为 880 Hz 和 1175 Hz，则

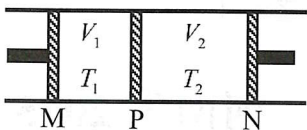
- A. 在空气中传播时，A<sub>5</sub> 音的波长大于 D<sub>6</sub> 音的  
 B. 在空气中传播时，A<sub>5</sub> 音的波速小于 D<sub>6</sub> 音的  
 C. 由空气进入水中，A<sub>5</sub> 音和 D<sub>6</sub> 音的频率都变大  
 D. 由空气进入水中，A<sub>5</sub> 音的波长改变量大于 D<sub>6</sub> 音的

9. 手机拍照时手的抖动产生的微小加速度会影响拍照质量，光学防抖技术可以消除这种影响。如图，镜头仅通过左、下两侧的弹簧与手机框架相连，两个相同线圈 c、d 分别固定在镜头右、上两侧，c、d 中的一部分处在相同的匀强磁场中，磁场方向垂直纸面向里。拍照时，手机可实时检测手机框架的微小加速度  $a$  的大小和方向，依此自动调节 c、d 中通入的电流  $I_c$  和  $I_d$  的大小和方向（无抖动时  $I_c$  和  $I_d$  均为零），使镜头处于零加速度状态。下列说法正确的是

- A. 若  $I_c$  沿顺时针方向， $I_d = 0$ ，则表明  $a$  的方向向右  
 B. 若  $I_d$  沿顺时针方向， $I_c = 0$ ，则表明  $a$  的方向向下  
 C. 若  $a$  的方向沿左偏上  $30^\circ$ ，则  $I_c$  沿顺时针方向， $I_d$  沿逆时针方向且  $I_c > I_d$   
 D. 若  $a$  的方向沿右偏上  $30^\circ$ ，则  $I_c$  沿顺时针方向， $I_d$  沿顺时针方向且  $I_c < I_d$



10. 如图，一圆柱形汽缸水平固置，其内部被活塞 M、P、N 密封成两部分，活塞 P 与汽缸壁均绝热且两者间无摩擦。平衡时，P 左、右两侧理想气体的温度分别为  $T_1$  和  $T_2$ ，体积分别为  $V_1$  和  $V_2$ ， $T_1 < T_2$ ， $V_1 < V_2$ 。则
- A. 固定 M、N，若两侧气体同时缓慢升高相同温度，P 将右移  
 B. 固定 M、N，若两侧气体同时缓慢升高相同温度，P 将左移  
 C. 保持  $T_1$ 、 $T_2$  不变，若 M、N 同时缓慢向中间移动相同距离，P 将右移  
 D. 保持  $T_1$ 、 $T_2$  不变，若 M、N 同时缓慢向中间移动相同距离，P 将左移



三、非选择题：本题共 5 小题，共 54 分。

11. (6 分)

实验小组研究某热敏电阻的特性，并依此利用电磁铁、电阻箱等器材组装保温箱。该热敏电阻阻值随温度的变化曲线如图 1 所示，保温箱原理图如图 2 所示。回答下列问题：

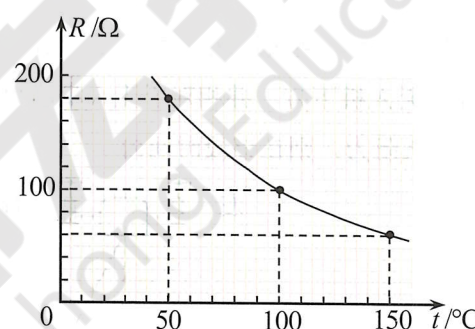


图 1

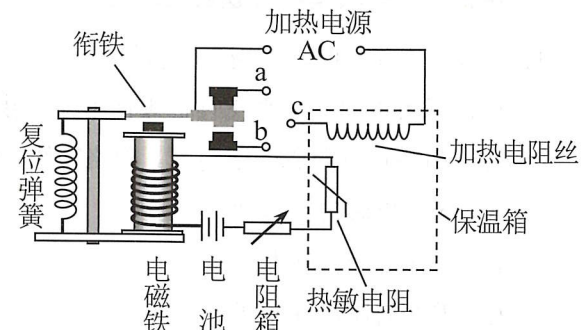


图 2

(1) 图 1 中热敏电阻的阻值随温度的变化关系是\_\_\_\_\_（填“线性”或“非线性”）的。

(2) 存在一个电流值  $I_0$ ，若电磁铁线圈的电流小于  $I_0$ ，衔铁与上固定触头 a 接触；若电流大于  $I_0$ ，衔铁与下固定触头 b 接触。保温箱温度达到设定值后，电磁铁线圈的电流在  $I_0$  附近上下波动，加热电路持续地断开、闭合，使保温箱温度维持在设定值。则图 2 中加热电阻丝的 c 端应该与触头\_\_\_\_\_（填“a”或“b”）相连接。

(3) 当保温箱的温度设定在  $50^\circ\text{C}$  时，电阻箱旋钮的位置如图 3 所示，则电阻箱接入电路的阻值为\_\_\_\_\_Ω。

(4) 若要把保温箱的温度设定在  $100^\circ\text{C}$ ，则电阻箱接入电路的阻值应为\_\_\_\_\_Ω。

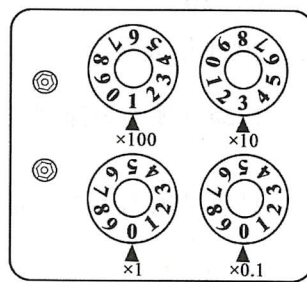


图 3

## 12. (9 分)

实验小组利用图 1 所示装置验证机械能守恒定律。可选用的器材有：交流电源（频率 50 Hz）、铁架台、电子天平、重锤、打点计时器、纸带、刻度尺等。

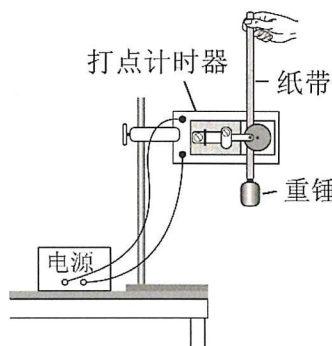


图 1

(1) 下列所给实验步骤中，有 4 个是完成实验必需且正确的，把它们选择出来并按实验顺序排列：\_\_\_\_\_ (填步骤前面的序号)

- ① 先接通电源，打点计时器开始打点，然后再释放纸带
- ② 先释放纸带，然后再接通电源，打点计时器开始打点
- ③ 用电子天平称量重锤的质量
- ④ 将纸带下端固定在重锤上，穿过打点计时器的限位孔，用手捏住纸带上端
- ⑤ 在纸带上选取一段，用刻度尺测量该段内各点到起点的距离，记录分析数据
- ⑥ 关闭电源，取下纸带

(2) 图 2 所示是纸带上连续打出的五个点 A、B、C、D、E 到起点的距离。则打出 B 点时重锤下落的速度大小为 \_\_\_\_\_ m/s (保留 3 位有效数字)。

A	B	C	D	E	单位: cm
13.20	16.60	20.34	24.50	29.00	

图 2

(3) 纸带上各点与起点间的距离即为重锤下落高度  $h$ ，计算相应的重锤下落速度  $v$ ，并绘制图 3 所示的  $v^2 - h$  关系图像。理论上，若机械能守恒，图中直线应 \_\_\_\_\_ (填“通过”或“不通过”) 原点且斜率为 \_\_\_\_\_ (用重力加速度大小  $g$  表示)。由图 3 得直线的斜率  $k =$  \_\_\_\_\_ (保留 3 位有效数字)。

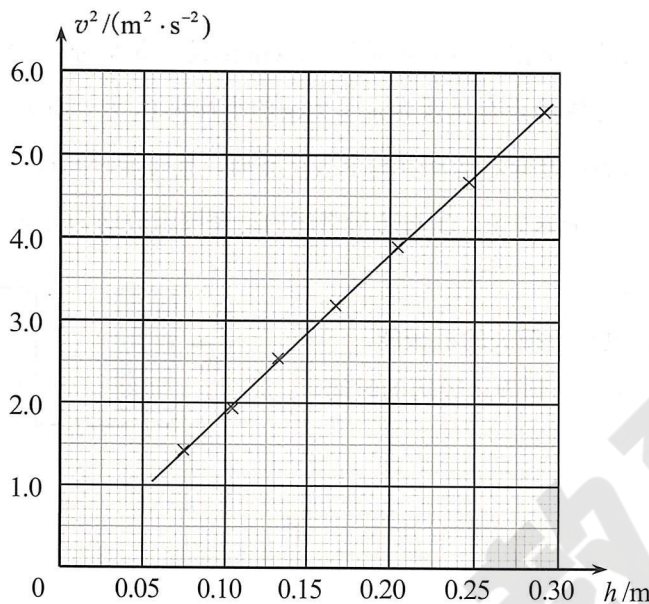
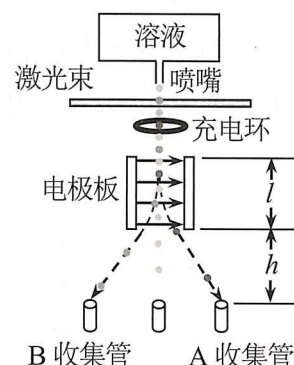


图 3

(4) 定义单次测量的相对误差  $\eta = \left| \frac{E_p - E_k}{E_p} \right| \times 100\%$ ，其中  $E_p$  是重锤重力势能的减小量， $E_k$  是其动能增加量，则实验相对误差为  $\eta = \text{_____} \times 100\%$  (用字母  $k$  和  $g$  表示)；当地重力加速度大小取  $g = 9.80 \text{ m/s}^2$ ，则  $\eta = \text{_____}\%$  (保留 2 位有效数字)，若  $\eta < 5\%$ ，可认为在实验误差允许的范围内机械能守恒。

### 13. (10 分)

流式细胞仪可对不同类型的细胞进行分类收集，其原理如图所示。仅含有一个 A 细胞或 B 细胞的小液滴从喷嘴喷出 (另有一些液滴不含细胞)，液滴质量均为  $m = 2.0 \times 10^{-10} \text{ kg}$ 。当液滴穿过激光束、充电环时被分类充电，使含 A、B 细胞的液滴分别带上正、负电荷，电荷量均为  $q = 1.0 \times 10^{-13} \text{ C}$ 。随后，液滴以  $v = 2.0 \text{ m/s}$  的速度竖直进入长度为  $l = 2.0 \times 10^{-2} \text{ m}$  的电极板间，板间电场均匀、方向水平向右，电场强度大小为  $E = 2.0 \times 10^5 \text{ N/C}$ 。含细胞的液滴最终被分别收集在极板下方  $h = 0.1 \text{ m}$  处的 A、B 收集管中。不计重力、空气阻力以及带电液滴间的作用。求

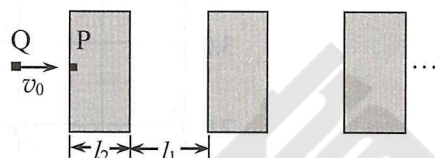


- (1) 含 A 细胞的液滴离开电场时偏转的距离；
- (2) A、B 细胞收集管的间距。

14. (12 分)

如图, 在一段水平光滑直道上每间隔  $l_1 = 3 \text{ m}$  铺设有宽度为  $l_2 = 2.4 \text{ m}$  的防滑带。在最左端防滑带的左边缘静止有质量为  $m_1 = 2 \text{ kg}$  的小物块 P, 另一质量为  $m_2 = 4 \text{ kg}$  的小物块 Q 以  $v_0 = 7 \text{ m/s}$  的速度向右运动并与 P 发生正碰, 且碰撞时间极短。已知碰撞后瞬间 P 的速度大小为  $v = 7 \text{ m/s}$ , P、Q 与防滑带间的动摩擦因数均为  $\mu = 0.5$ , 重力加速度大小  $g = 10 \text{ m/s}^2$ 。求

- (1) 该碰撞过程中损失的机械能;
- (2) P 从开始运动到静止经历的时间。



15. (17 分)

如图, 水平虚线上方区域有垂直于纸面向外的匀强磁场, 下方区域有竖直向上的匀强电场。质量为  $m$ 、带电量为  $q (q > 0)$  的粒子从磁场中的 a 点以速度  $v_0$  向右水平发射, 当粒子进入电场时其速度沿右下方向并与水平虚线的夹角为  $60^\circ$ , 然后粒子又射出电场重新进入磁场并通过右侧 b 点, 通过 b 点时其速度方向水平向右。a、b 距水平虚线的距离均为  $h$ , 两点之间的距离为  $s = 3\sqrt{3}h$ 。不计重力。

- (1) 求磁感应强度的大小;
- (2) 求电场强度的大小;
- (3) 若粒子从 a 点以  $v_0$  竖直向下发射, 长时间来看, 粒子将向左或向右漂移, 求漂移速度大小。(一个周期内粒子的位移与周期的比值为漂移速度)

